

# Эффективное моделирование сильнонелинейной динамики распространения фронтов пламен с помощью оболочечного подхода

к.ф.-м.н. ассистент О.Г. Харланов,  
к.ф.-м.н. доцент К.А. Казаков

МГУ имени М.В.Ломоносова, физический фак-т, каф. теоретической физики

Семинар “Суперкомпьютерные технологии в науке, образовании и  
промышленности”

НОЦ “Суперкомпьютерные технологии” МГУ, 16 октября 2017 г.

# Начнем издалека

## Численно-аналитический подход:

- нетривиальные (точные и асимптотические) аналитические методы + численные или символьные вычислительные методы

# Начнем издалека

Численно-аналитический подход:

- нетривиальные (точные и асимптотические) аналитические методы + численные или символьные вычислительные методы

DFT — ЧАП на  $\frac{1}{2}$  Нобеля (W.Kohn, 1998):

# Начнем издалека

## Численно-аналитический подход:

- нетривиальные (точные и асимптотические) аналитические методы + численные или символьные вычислительные методы

## DFT — ЧАП на $\frac{1}{2}$ Нобеля (W.Kohn, 1998):

- 196х: Метод нахождения основного состояния квантовой системы многих тел  $\rightsquigarrow e^-$  структура
- сегодня: VASP, Gaussian, Quantum Espresso, Firefly, ...

# Начнем издалека

## Численно-аналитический подход:

- нетривиальные (точные и асимптотические) аналитические методы + численные или символьные вычислительные методы

## DFT — ЧАП на $\frac{1}{2}$ Нобеля (W.Kohn, 1998):

- 196х: Метод нахождения основного состояния квантовой системы многих тел  $\rightsquigarrow e^-$  структура
- сегодня: VASP, Gaussian, Quantum Espresso, Firefly, ...
- основан на **точных теоремах** Хоэнберга–Кона и **асимптотически выведенных**  $E_{xc}[n]$
- “переводит” уравнения КМ с языка  $\Psi(x_1, \dots, x_N)$  на язык  $n(x)$

# Начнем издалека

## Численно-аналитический подход:

- нетривиальные (точные и асимптотические) аналитические методы + численные или символьные вычислительные методы

## DFT — ЧАП на $\frac{1}{2}$ Нобеля (W.Kohn, 1998):

- 196х: Метод нахождения основного состояния квантовой системы многих тел  $\rightsquigarrow e^-$  структура
- сегодня: VASP, Gaussian, Quantum Espresso, Firefly, ...
- основан на **точных теоремах** Хоэнберга–Кона и **асимптотически выведенных**  $E_{xc}[n]$
- “переводит” уравнения КМ с языка  $\Psi(x_1, \dots, x_N)$  на язык  $n(x)$

► Мы будем использовать ЧАП для описания распространения фронтов пламен в трубах

# Горение смесей в трубах

Движение газа в трубе для поджига приводит к возникновению фронта



# Горение смесей в трубах

Движение газа в трубе для поджига приводит к возникновению фронта



Зачем это изучают:

- Горение обедненных смесей  $\rightsquigarrow$  экологичная энергетика
- Общие механизмы горения, перехода в детонацию и т.д.



# Горение смесей в трубах

Движение газа в трубе для поджига приводит к возникновению фронта



Зачем это изучают:

- Горение обедненных смесей  $\rightsquigarrow$  экологичная энергетика
- Общие механизмы горения, перехода в детонацию и т.д.

Методы изучения распространения фронтов пламен:

- **DNS**: газодинамика + хим. кинетика

# Горение смесей в трубах

Движение газа в трубе для поджига приводит к возникновению фронта



Зачем это изучают:

- Горение обедненных смесей  $\rightsquigarrow$  экологичная энергетика
- Общие механизмы горения, перехода в детонацию и т.д.

Методы изучения распространения фронтов пламен:

- **DNS**: газодинамика + хим. кинетика
- **LD**: неустойчивость плоского фронта,  $\sigma(k) \propto k(1 - k\lambda_c)$
- **Сивашинский(-Клавен)**: уравнение для фронтов с  $|f'| \ll 1$ :

$$\frac{\theta}{2} f'^2 - \frac{\theta + 1}{2} (U - 1) = \frac{\theta - 1}{2} \left( \frac{\lambda_c}{2\pi} f''(x) - \frac{1}{\pi} \text{v.p.} \int \frac{f(y) dy}{y - x} \right)$$

# Горение смесей в трубах

Движение газа в трубе для поджига приводит к возникновению фронта



Зачем это изучают:

- Горение обедненных смесей  $\rightsquigarrow$  экологичная энергетика
- Общие механизмы горения, перехода в детонацию и т.д.

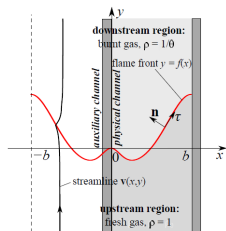
Методы изучения распространения фронтов пламен:

- **DNS**: газодинамика + хим. кинетика
- **LD**: неустойчивость плоского фронта,  $\sigma(k) \propto k(1 - k\lambda_c)$
- **Сивашинский(-Клавен)**: уравнение для фронтов с  $|f'| \ll 1$ :

$$\frac{\theta}{2} f'^2 - \frac{\theta + 1}{2} (U - 1) = \frac{\theta - 1}{2} \left( \frac{\lambda_c}{2\pi} f''(x) - \frac{1}{\pi} \text{v.p.} \int \frac{f(y) dy}{y - x} \right)$$

- **Оболочечный (on-shell) подход (Казаков, 2005)**: сведение к движению поверхности разрыва — фронта — и уравнениям, включающим только значения неизвестных функций на нем

# DNS vs on-shell



$$\frac{\partial}{\partial t} \rho + \frac{\partial}{\partial x_i} (\rho u_i) = 0,$$

$$\frac{\partial}{\partial t} (\rho u_i) + \frac{\partial}{\partial x_j} (\rho u_i u_j + \delta_{ij} P - \tau_{ij}) = 0,$$

$$\frac{\partial}{\partial t} \left( \rho e + \frac{1}{2} \rho u_j u_j \right) + \frac{\partial}{\partial x_i} \left( \rho u_i h + \frac{1}{2} \rho u_i u_j u_j - q_i - u_j \tau_{ij} \right) = 0,$$

$$\frac{\partial}{\partial t} (\rho Y) + \frac{\partial}{\partial x_i} \left( \rho u_i Y - \frac{\mu}{Sc} \frac{\partial Y}{\partial x_i} \right) = -\frac{\rho Y}{\tau_R} \exp\left(-\frac{E}{RT}\right),$$

$$\tau_{ij} = \mu \frac{\partial u_i}{\partial x_j} + \mu \frac{\partial u_j}{\partial x_i} - \frac{2}{3} \mu \delta_{ij} \frac{\partial u_k}{\partial x_k},$$

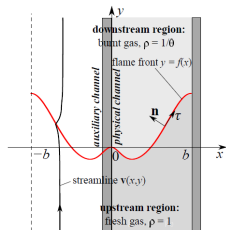
$$q_i = C_P \frac{\mu}{Pr} \frac{\partial T}{\partial x_i} + Q \frac{\mu}{Sc} \frac{\partial Y}{\partial x_i},$$

$$P = \frac{R}{m} \rho T$$

$$e = QY + C_V T$$

$$h = QY + C_P T$$

# DNS vs on-shell



$$\frac{\partial}{\partial t} \rho + \frac{\partial}{\partial x_i} (\rho u_i) = 0,$$

$$\frac{\partial}{\partial t} (\rho u_i) + \frac{\partial}{\partial x_j} (\rho u_i u_j + \delta_{ij} P - \tau_{ij}) = 0,$$

$$\frac{\partial}{\partial t} \left( \rho e + \frac{1}{2} \rho u_j u_j \right) + \frac{\partial}{\partial x_i} \left( \rho u_i h + \frac{1}{2} \rho u_i u_j u_j - q_i - u_j \tau_{ij} \right) = 0,$$

$$\frac{\partial}{\partial t} (\rho Y) + \frac{\partial}{\partial x_i} \left( \rho u_i Y - \frac{\mu}{Sc} \frac{\partial Y}{\partial x_i} \right) = -\frac{\rho Y}{\tau_R} \exp\left(-\frac{E}{RT}\right),$$

$$\tau_{ij} = \mu \frac{\partial u_i}{\partial x_j} + \mu \frac{\partial u_j}{\partial x_i} - \frac{2}{3} \mu \delta_{ij} \frac{\partial u_k}{\partial x_k},$$

$$q_i = C_P \frac{\mu}{Pr} \frac{\partial T}{\partial x_i} + Q \frac{\mu}{Sc} \frac{\partial Y}{\partial x_i},$$

$$P = \frac{R}{m} \rho T$$

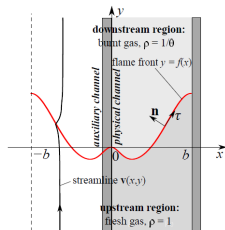
$$e = QY + C_V T$$

$$h = QY + C_P T$$

## DNS:

- ⊕ более простые уравнения
- ⊖ многомасштабная структура  
⇒ проблемы с сеткой
- ⊖ плохо разрешается стр-ра фронта
- ⊖ не универсален (много параметров)

# DNS vs on-shell



$$\frac{\partial}{\partial t} \rho + \frac{\partial}{\partial x_i} (\rho u_i) = 0,$$

$$\frac{\partial}{\partial t} (\rho u_i) + \frac{\partial}{\partial x_j} (\rho u_i u_j + \delta_{ij} P - \tau_{ij}) = 0,$$

$$\frac{\partial}{\partial t} \left( \rho e + \frac{1}{2} \rho u_j u_j \right) + \frac{\partial}{\partial x_i} \left( \rho u_i h + \frac{1}{2} \rho u_i u_j u_j - q_i - u_j \tau_{ij} \right) = 0,$$

$$\frac{\partial}{\partial t} (\rho Y) + \frac{\partial}{\partial x_i} \left( \rho u_i Y - \frac{\mu}{Sc} \frac{\partial Y}{\partial x_i} \right) = -\frac{\rho Y}{\tau_R} \exp\left(-\frac{E}{RT}\right),$$

$$\tau_{ij} = \mu \frac{\partial u_i}{\partial x_j} + \mu \frac{\partial u_j}{\partial x_i} - \frac{2}{3} \mu \delta_{ij} \frac{\partial u_k}{\partial x_k},$$

$$q_i = C_p \frac{\mu}{Pr} \frac{\partial T}{\partial x_i} + Q \frac{\mu}{Sc} \frac{\partial Y}{\partial x_i},$$

$$P = \frac{R}{m} \rho T$$

$$e = QY + C_V T$$

$$h = QY + C_P T$$

## DNS:

- ⊕ более простые уравнения
- ⊖ многомасштабная структура  
⇒ проблемы с сеткой
- ⊖ плохо разрешается стр-ра фронта
- ⊖ не универсален (много параметров)

## On-shell:

- ⊖ сложные уравнения
- ⊕ оперирует только наблюда. в эксперименте величинами
- ⊕ 4 параметра:  $\theta, \mathcal{L}_{c,s,\sigma}$
- ⊕ стр-ра фронта — уже в них!

Численно-аналитический подход:

- 1 вывод on-shell уравнений из газодинамики + кинетики

Численно-аналитический подход:

- 1 вывод on-shell уравнений из газодинамики + кинетики
- 2 анализ асимптотик ( $\theta - 1 \rightarrow 0$ ,  $|f'| \rightarrow \infty$ )



## Численно-аналитический подход:

- 1 вывод on-shell уравнений из газодинамики + кинетики
- 2 анализ асимптотик ( $\theta - 1 \rightarrow 0$ ,  $|f'| \rightarrow \infty$ )
- 3 разработка численного метода для решения уравнений для реальных пламен

## Численно-аналитический подход:

- 1 вывод on-shell уравнений из газодинамики+кинетики
- 2 анализ асимптотик ( $\theta - 1 \rightarrow 0$ ,  $|f'| \rightarrow \infty$ )
- 3 разработка численного метода для решения уравнений для реальных пламен
- 4 сравнение с DNS

## Численно-аналитический подход:

- 1 вывод on-shell уравнений из газодинамики+кинетики
- 2 анализ асимптотик ( $\theta - 1 \rightarrow 0$ ,  $|f'| \rightarrow \infty$ )
- 3 разработка численного метода для решения уравнений для реальных пламен
- 4 сравнение с DNS
- 5 выводы о механизмах горения, уточнение теории

# On-shell: идея вывода

## On-shell: идея вывода

К.А. Казаков [PRL **94**, 094501 (2005)] — переход к on-shell описанию всей системы только в терминах происходящего на фронте:

- газ **несжимаем** ( $\partial_j v_j = 0$ ) везде кроме фронта

## On-shell: идея вывода

К.А. Казаков [PRL **94**, 094501 (2005)] — переход к on-shell описанию всей системы только в терминах происходящего на фронте:

- газ **несжимаем** ( $\partial_j v_j = 0$ ) везде кроме фронта
- **вязкость** — медленный эффект по сравнению с  $U$

## On-shell: идея вывода

К.А. Казаков [PRL **94**, 094501 (2005)] — переход к on-shell описанию всей системы только в терминах происходящего на фронте:

- газ **несжимаем** ( $\partial_j v_j = 0$ ) везде кроме фронта
- **вязкость** — медленный эффект по сравнению с  $U$
- **турбулентность** на фронте велика, но  $Re = \rho U l_f / \mu$  дост. мало

## On-shell: идея вывода

К.А. Казаков [PRL **94**, 094501 (2005)] — переход к on-shell описанию всей системы только в терминах происходящего на фронте:

- газ **несжимаем** ( $\partial_i v_i = 0$ ) везде кроме фронта
- **вязкость** — медленный эффект по сравнению с  $U$
- **турбулентность** на фронте велика, но  $Re = \rho U l_f / \mu$  дост. мало
- $v_i = \partial_i \phi(\mathbf{x}) + v_i^{(v)}(\mathbf{x})$ ;  $\omega^{(p)}(x + iy) \equiv v_x^{(p)} + i v_y^{(p)}$  — аналит.
- [Томсон] **завихренность**  $\sigma = \epsilon_{ij} \partial_i v_j = \text{const}$  вдоль линии тока



## On-shell: идея вывода

К.А. Казаков [PRL **94**, 094501 (2005)] — переход к on-shell описанию всей системы только в терминах происходящего на фронте:

- газ **несжимаем** ( $\partial_i v_i = 0$ ) везде кроме фронта
- **вязкость** — медленный эффект по сравнению с  $U$
- **турбулентность** на фронте велика, но  $Re = \rho U l_f / \mu$  дост. мало
- $v_i = \partial_i \phi(\mathbf{x}) + v_i^{(v)}(\mathbf{x})$ ;  $\omega^{(p)}(x + iy) \equiv v_x^{(p)} + i v_y^{(p)}$  — аналит.
- [Томсон] **завихренность**  $\sigma = \epsilon_{ij} \partial_i v_j = \text{const}$  вдоль линии тока
- после записи интегрального выражения для скорости газа через функции Грина получается отинтегрировать два полупространства  $\rightsquigarrow$  **мастер-уравнение**

$$2\omega'_- + (1 + i\hat{\mathcal{H}}) \left\{ [\omega]' - \frac{Nv_+^n \sigma_+ \omega_+}{v_+^2} + \frac{1 + if'}{2} \int_{-1}^1 dx' \frac{Nv_+^n \sigma_+ \omega_+(x')}{v_+^2(x')} \right\} = 0,$$

$$(\hat{\mathcal{H}}a)(x) \equiv \frac{1 + if'(x)}{2} \text{v.p.} \int_{-1}^1 d\xi \cot \left\{ \frac{\pi}{2b} (\xi - x + i[f(\xi) - f(x)]) \right\} a(\xi).$$

# On-shell: идея численного алгоритма

$$2\omega'_- + (1 + i\hat{\mathcal{H}}) \left\{ [\omega]' - \frac{Nv_+^n \sigma_+ \omega_+}{v_+^2} + \frac{1 + if'}{2} \int_{-1}^{+1} d\xi \frac{Nv_+^n \sigma_+ \omega_+(\xi)}{v_+^2(\xi)} \right\} = 0,$$

$$v_-^n = 1 - S(f', \omega_-), \quad S = \mathcal{L}_\sigma \frac{f''}{N^3} + \mathcal{L}_s \frac{(v_-^r)'}{N} \quad \sigma_+ = -\frac{1}{Nv_-^n} \left\{ \frac{\theta - 1}{2\theta} (v_-^r)^2 + \frac{\theta - 1}{2} (v_-^n)^2 + 2\mathcal{L}_\sigma \frac{f''}{N^3} \right\}'$$

$$(\hat{\mathcal{H}}a)(x) = \frac{1 + if'(x)}{2} \int_{-1}^{+1} d\xi \cot \left\{ \frac{\pi}{2} (\xi - x + i[f(\xi) - f(x)]) \right\} a(\xi)$$

## On-shell: идея численного алгоритма

$$2\omega'_- + (1 + i\hat{\mathcal{H}}) \left\{ [\omega]' - \frac{Nv_+^n \sigma_+ \omega_+}{v_+^2} + \frac{1 + if'}{2} \int_{-1}^{+1} d\xi \frac{Nv_+^n \sigma_+ \omega_+(\xi)}{v_+^2(\xi)} \right\} = 0,$$

$$v_-^n = 1 - S(f', \omega_-), \quad S = \mathcal{L}_c \frac{f''}{N^3} + \mathcal{L}_s \frac{(v_-^r)'}{N} \quad \sigma_+ = -\frac{1}{Nv_-^n} \left\{ \frac{\theta - 1}{2\theta} (v_-^r)^2 + \frac{\theta - 1}{2} (v_-^n)^2 + 2\mathcal{L}_\sigma \frac{f''}{N^3} \right\}'$$

$$(\hat{\mathcal{H}}a)(x) = \frac{1 + if'(x)}{2} \int_{-1}^{+1} d\xi \cot \left\{ \frac{\pi}{2} (\xi - x + i[f(\xi) - f(x)]) \right\} a(\xi)$$

Решение — через **fixed-point iterations** [К.А. Казаков and O.G. Kharlanov, arXiv:1708.09346[physics.flu-dyn] (2017)]:

- 1 для фикс.  $f(x)$ ,  $u_0 \equiv \omega_-(0)$  найти  $\omega_-(x)$ , итерируя мастер-уравнение
- 2 подставив  $\omega_-(x)$  в ур-е эволюции, найти новое  $u_0$ , совместимое с **двумя** г.у.  $f'(0) = f'(1) = 0 \rightsquigarrow$  **новые**  $f(x)$ ,  $u_0$  (метод стрельбы/дихотомия)
- 3 **Вернуться на шаг 1**, если  $\|f_{\text{new}} - f\| > \epsilon$

## On-shell: идея численного алгоритма

$$2\omega'_- + (1 + i\hat{\mathcal{H}}) \left\{ [\omega]' - \frac{Nv_+^n \sigma_+ \omega_+}{v_+^2} + \frac{1 + if'}{2} \int_{-1}^{+1} d\xi \frac{Nv_+^n \sigma_+ \omega_+(\xi)}{v_+^2(\xi)} \right\} = 0,$$

$$v_-^n = 1 - S(f', \omega_-), \quad S = \mathcal{L}_c \frac{f''}{N^3} + \mathcal{L}_s \frac{(v_-^r)'}{N} \quad \sigma_+ = -\frac{1}{Nv_-^n} \left\{ \frac{\theta - 1}{2\theta} (v_-^r)^2 + \frac{\theta - 1}{2} (v_-^n)^2 + 2\mathcal{L}_\sigma \frac{f''}{N^3} \right\}'$$

$$(\hat{\mathcal{H}}a)(x) = \frac{1 + if'(x)}{2} \int_{-1}^{+1} d\xi \cot \left\{ \frac{\pi}{2} (\xi - x + i[f(\xi) - f(x)]) \right\} a(\xi)$$

Решение — через **fixed-point iterations** [К.А. Казаков and O.G. Kharlanov, arXiv:1708.09346[physics.flu-dyn] (2017)]:

- 1 для фикс.  $f(x)$ ,  $u_0 \equiv \omega_-(0)$  найти  $\omega_-(x)$ , итерируя мастер-уравнение
- 2 подставив  $\omega_-(x)$  в ур-е эволюции, найти новое  $u_0$ , совместимое с **двумя** г.у.  $f'(0) = f'(1) = 0 \rightsquigarrow$  **новые  $f(x)$ ,  $u_0$**  (метод стрельбы/дихотомия)
- 3 **Вернуться на шаг 1**, если  $\|f_{\text{new}} - f\| > \epsilon$

► Все не так уж просто: жесткое/неустойчивое сильнонелинейное ОДУ, сингулярный интегральный оператор, ...

# On-shell: идея численного алгоритма

$$2\omega'_- + (1 + i\hat{\mathcal{H}}) \left\{ [\omega]' - \frac{Nv_+^n \sigma_+ \omega_+}{v_+^2} + \frac{1 + if'}{2} \int_{-1}^{+1} d\xi \frac{Nv_+^n \sigma_+ \omega_+(\xi)}{v_+^2(\xi)} \right\} = 0,$$

$$v_-^n = 1 - S(f', \omega_-), \quad S = \mathcal{L}_c \frac{f''}{N^3} + \mathcal{L}_s \frac{(v_-^r)'}{N} \quad \underline{\sigma}_+ = -\frac{1}{Nv_-^n} \left\{ \frac{\theta - 1}{2\theta} (v_-^r)^2 + \frac{\theta - 1}{2} (v_-^n)^2 + 2\mathcal{L}_\sigma \frac{f''}{N^3} \right\}'$$

$$(\hat{\mathcal{H}}a)(x) = \frac{1 + if'(x)}{2} \int_{-1}^{+1} d\xi \cot \left\{ \frac{\pi}{2} (\xi - x + i[f(\xi) - f(x)]) \right\} a(\xi)$$

Решение — через **fixed-point iterations** [К.А. Kazakov and O.G. Kharlanov, arXiv:1708.09346[physics.flu-dyn] (2017)]:

- 1 для фикс.  $f(x)$ ,  $u_0 \equiv \omega_-(0)$  найти  $\omega_-(x)$ , итерируя мастер-уравнение
- 2 подставив  $\omega_-(x)$  в ур-е эволюции, найти новое  $u_0$ , совместимое с **двумя** г.у.  $f'(0) = f'(1) = 0 \rightsquigarrow$  **новые  $f(x)$ ,  $u_0$**  (метод стрельбы/дихотомия)
- 3 **Вернуться на шаг 1**, если  $\|f_{\text{new}} - f\| > \epsilon$

► Все не так уж просто: жесткое/неустойчивое сильнонелинейное ОДУ, сингулярный интегральный оператор, ...

- ⊕ скорость, параллелизм, объем данных, универсальность
- ⊖ сложная система с *a priori* непонятными свойствами

# On-shell: детали численного алгоритма [1]

## On-shell: детали численного алгоритма [1]

- мастер-уравнение после интегрирования по  $x$  действительно принимает вид условия на неподв. точку:

$$\omega_-(x) = u_0 + \int_0^x dx' K[\omega_-, f](x')$$

- соотв. итерации сходятся быстро для практически любых начальных профилей скорости  $\omega^{(0)}(x)$  и реалистичных фронтов  $f(x)$

## On-shell: детали численного алгоритма [1]

- мастер-уравнение после интегрирования по  $x$  действительно принимает вид условия на неподв. точку:

$$\omega_-(x) = u_0 + \int_0^x dx' K[\omega_-, f](x')$$

- соотв. итерации сходятся быстро для практически любых начальных профилей скорости  $\omega^{(0)}(x)$  и реалистичных фронтов  $f(x)$
- $\hat{\mathcal{H}} \cdot (1 + if') = 0$ , что позволяет избавиться от сингулярного ядра



## On-shell: детали численного алгоритма [1]

- мастер-уравнение после интегрирования по  $x$  действительно принимает вид условия на неподв. точку:

$$\omega_-(x) = u_0 + \int_0^x dx' K[\omega_-, f](x')$$

- соотв. итерации сходятся быстро для практически любых начальных профилей скорости  $\omega^{(0)}(x)$  и реалистичных фронтов  $f(x)$
- $\hat{\mathcal{H}} \cdot (1 + if') = 0$ , что позволяет избавиться от сингулярного ядра
- в уравнении эволюции  $u_0$  находится из склейки решений с правым и левым г.у.; точка склейки  $x^*$  сильно влияет на точность

## On-shell: детали численного алгоритма [1]

- мастер-уравнение после интегрирования по  $x$  действительно принимает вид условия на неподв. точку:

$$\omega_-(x) = u_0 + \int_0^x dx' K[\omega_-, f](x')$$

- соотв. итерации сходятся быстро для практически любых начальных профилей скорости  $\omega^{(0)}(x)$  и реалистичных фронтов  $f(x)$
- $\hat{\mathcal{H}} \cdot (1 + if') = 0$ , что позволяет избавиться от сингулярного ядра
- в уравнении эволюции  $u_0$  находится из склейки решений с правым и левым г.у.; точка склейки  $x^*$  сильно влияет на точность
- схемы: локально-адаптивная 4 порядка, Розенброка, ...

## On-shell: детали численного алгоритма [1]

- мастер-уравнение после интегрирования по  $x$  действительно принимает вид условия на неподв. точку:

$$\omega_-(x) = u_0 + \int_0^x dx' K[\omega_-, f](x')$$

- соотв. итерации сходятся **быстро** для практически любых начальных профилей скорости  $\omega^{(0)}(x)$  и реалистичных фронтов  $f(x)$
- $\hat{\mathcal{H}} \cdot (1 + if') = 0$ , что позволяет избавиться от сингулярного ядра
- в уравнении эволюции  $u_0$  находится из склейки решений с правым и левым г.у.; точка склейки  $x^*$  сильно влияет на точность
- схемы: локально-адаптивная 4 порядка, Розенброка, ...
- поиск следующих  $u_0, f(x)$  осуществляется методами Пикара или Андерсона

# On-shell: детали численного алгоритма [2]

## On-shell: детали численного алгоритма [2]

Поиск неподвижной точки  $\mathcal{I}[\varphi] = \varphi$ ,  $\varphi \equiv (u_0, f)$ :

- метод Пикара:  $\varphi_{n+1} = (1 - \beta)\mathcal{I}[\varphi_n] + \beta\varphi_n$ ,  $\beta \in (0, 1)$

## On-shell: детали численного алгоритма [2]

Поиск неподвижной точки  $\mathcal{I}[\varphi] = \varphi$ ,  $\varphi \equiv (u_0, f)$ :

- метод Пикара:  $\varphi_{n+1} = (1 - \beta)\mathcal{I}[\varphi_n] + \beta\varphi_n$ ,  $\beta \in (0, 1)$ 
  - $\mathcal{I}$  должен быть сжимающим около решения  $\varphi = \varphi^*$
  - сложно добавить условия на  $\varphi$

## On-shell: детали численного алгоритма [2]

Поиск неподвижной точки  $\mathcal{I}[\varphi] = \varphi$ ,  $\varphi \equiv (u_0, f)$ :

- метод Пикара:  $\varphi_{n+1} = (1 - \beta)\mathcal{I}[\varphi_n] + \beta\varphi_n$ ,  $\beta \in (0, 1)$

- $\mathcal{I}$  должен быть сжимающим около решения  $\varphi = \varphi^*$
- сложно добавить условия на  $\varphi$

- метод Андерсона (глубина  $d \geq 1$ ):

$$\varphi_{n+1} = \alpha_{n,1}\varphi_n + \alpha_{n,2}\varphi_{n-1} + \dots + \alpha_{n,d}\varphi_{n-d+1}, \quad \sum_{p=1}^d \alpha_{n,p} = 1,$$

с требованием минимизации нормы невязки  $\|\mathcal{I}[\varphi_{n+1}] - \varphi_{n+1}\|$ .

## On-shell: детали численного алгоритма [2]

Поиск неподвижной точки  $\mathcal{I}[\varphi] = \varphi$ ,  $\varphi \equiv (u_0, f)$ :

- метод Пикара:  $\varphi_{n+1} = (1 - \beta)\mathcal{I}[\varphi_n] + \beta\varphi_n$ ,  $\beta \in (0, 1)$

- $\mathcal{I}$  должен быть сжимающим около решения  $\varphi = \varphi^*$
- сложно добавить условия на  $\varphi$

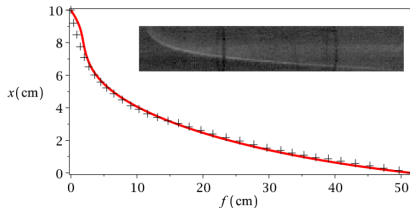
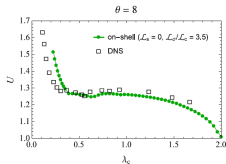
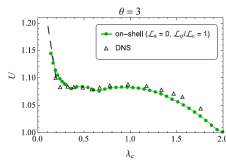
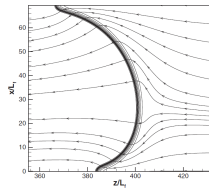
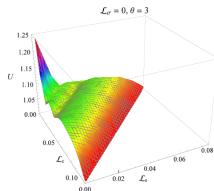
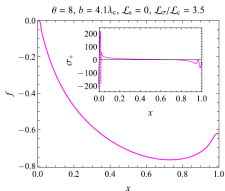
- метод Андерсона (глубина  $d \geq 1$ ):

$\varphi_{n+1} = \alpha_{n,1}\varphi_n + \alpha_{n,2}\varphi_{n-1} + \dots + \alpha_{n,d}\varphi_{n-d+1}$ ,  $\sum_{p=1}^d \alpha_{n,p} = 1$ ,  
с требованием минимизации нормы невязки  $\|\mathcal{I}[\varphi_{n+1}] - \varphi_{n+1}\|$ .

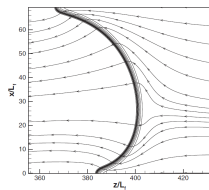
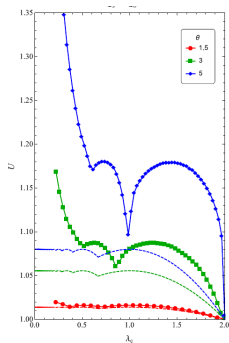
- сводится к задаче о наименьших квадратах
- линейные условия на  $\varphi$ , такие как  $g_1 < f'(0) < g_2$ , легко включаются в МНК  $\rightsquigarrow$  разделение различных ветвей решений
- может сходиться к седловым точкам



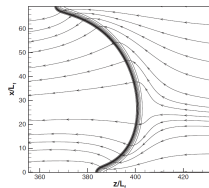
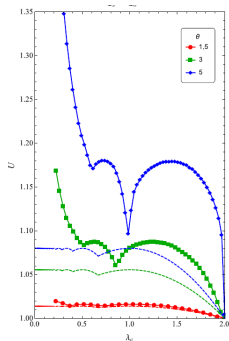
# On-shell: результаты численных расчетов [1]



# On-shell: результаты численных расчетов [2]

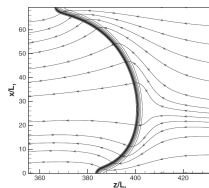
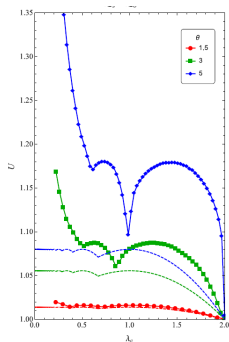


# On-shell: результаты численных расчетов [2]



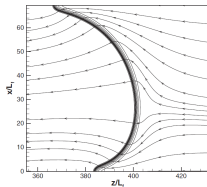
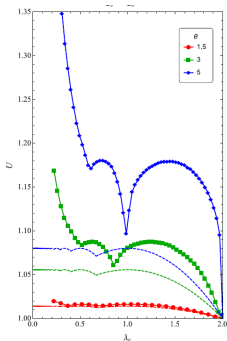
- DNS плохо разрешает структуру фронта, отсюда — ошибки при больших  $\theta$

## On-shell: результаты численных расчетов [2]



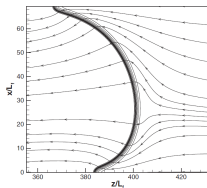
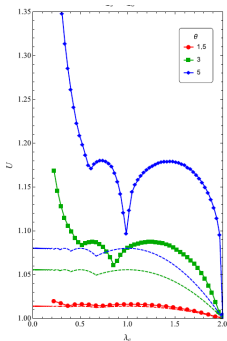
- DNS плохо разрешает структуру фронта, отсюда — ошибки при больших  $\theta$
- On-shell гораздо быстрее DNS и дает то, что и видят в эксперименте

# On-shell: результаты численных расчетов [2]



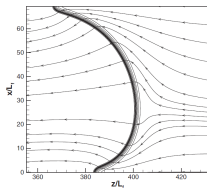
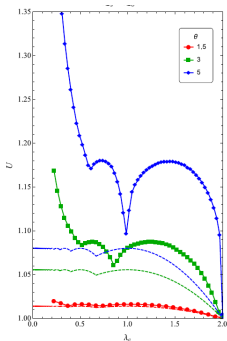
- DNS плохо разрешает структуру фронта, отсюда — ошибки при больших  $\theta$
- On-shell гораздо быстрее DNS и дает то, что и видят в эксперименте
- On-shell лучше распараллеливается

# On-shell: результаты численных расчетов [2]



- DNS плохо разрешает структуру фронта, отсюда — ошибки при больших  $\theta$
- On-shell гораздо быстрее DNS и дает то, что и видят в эксперименте
- On-shell лучше распараллеливается
- Слабонелинейное приближение не годится для реальных пламен

# On-shell: результаты численных расчетов [2]



- DNS плохо разрешает структуру фронта, отсюда — ошибки при больших  $\theta$
- On-shell гораздо быстрее DNS и дает то, что и видят в эксперименте
- On-shell лучше распараллеливается
- Слабонелинейное приближение не годится для реальных пламен
- [ext.] Вблизи стенки необходимы обобщения модели

# Заключение: АЧП и пламена



## Заключение: АЧП и пламена

- разработан эффективная схема сведения гидродинамических уравнений к уравнениям на фронте пламени — on-shell уравнениям

## Заключение: АЧП и пламена

- разработан эффективная схема сведения гидродинамических уравнений к уравнениям на фронте пламени — on-shell уравнениям
- оптимизация кода “достигается” аналитически (аналогично DFT)

## Заключение: АЧП и пламена

- разработан эффективная схема сведения гидродинамических уравнений к уравнениям на фронте пламени — on-shell уравнениям
- оптимизация кода “достигается” аналитически (аналогично DFT)
- результаты хорошо согласуются с DNS и известными асимптотиками

## Заключение: АЧП и пламена

- разработан эффективная схема сведения гидродинамических уравнений к уравнениям на фронте пламени — on-shell уравнениям
- оптимизация кода “достигается” аналитически (аналогично DFT)
- результаты хорошо согласуются с DNS и известными асимптотиками
- дальнейшие расчеты включают учет гравитации (уже частично проведено), а также нетривиальных процессов вблизи стенок трубы

Спасибо за внимание!

**Контакты:** okharl@mail.ru, k\_kazakov@hotmail.com

[1] K. A. Kazakov and O. G. Kharlanov, *Numerical study of strongly-nonlinear regimes of steady premixed flame propagation. The effect of thermal gas expansion and finite-front-thickness effects*, e-Print arXiv:1708.09346 [physics.flu-dyn].

[2] K. A. Kazakov, *Exact equation for curved stationary flames with arbitrary gas expansion*, Phys. Rev. Lett. **94**, 094501 (2005); *On-shell description of stationary flames*, Phys. Fluids **17**, 032107 (2005).